

ス顯熱減少分を求めるとき、結局  $147,840 \text{ kcal}$  となる。以上から、所要熱量の減少という熱的利益は次の通りである。

直接的利益: Solution loss の減少によつて  
 $201,140 + 22,380 = 223,520 \text{ kcal/t-p}$

間接的利益: 炉頂ガス顯熱の減少によつて  
 $147,840 \text{ kcal/t-p}$

熱損失の減少によつて  
 $180,920 \text{ kcal/t-p}$

### III. 粉炭吹込に伴なう熱的利益の 粉炭のコークス当量

次に以上の熱的利益と等価なコークス量を求める。

i) Solution loss の減少による熱的利益に等価な炭素量

求める炭素量  $C_1$  は次の式から求めることができる。

$$C_1 q_{cd} = \zeta_{H_2} V_{H_2 \cdot \text{bosh}} q_{H_2} \quad (1)$$

ただし、 $q_{cd}$  は Fe の直接還元に費される C の有効発熱量で、

$$q_{cd} = 2340 - 1.867 C_0 T_{G0} \quad (2)$$

$q_{H_2}$  は間接還元に使われる  $H_2$  の有効発熱量で

$$q_{H_2} = 2580 - (C_{H_2O} - C_0) T_G \quad (3)$$

ここで、 $\zeta_{H_2}$ :  $H_2$  の利用率、 $V_{H_2 \cdot \text{bosh}}$ : Bosch gas  $H_2$  量、 $C_0$ 、 $C_{H_2O}$ : 2 原子ガスおよび  $H_2O$  の比熱、 $T_{G0}$ 、 $T_G$ : 基準および 25% 粉炭吹込時の炉頂温度。

$q_{cd}$ 、 $q_{H_2}$  を計算すると、それぞれ  $2088.2 \text{ kcal/kg} \cdot C$ 、 $2553.9 \text{ kcal/m}^3 \cdot H_2$  となる。故に

$$C_1 = 85.3 \text{ kg}$$

ii) 炉頂ガス顯熱の減少による熱的利益の炭素当量

求める量  $C_2$  は次式で求められる。

$$C_2 q_c = 147,840 \text{ kcal}$$

ただし、 $q_c$  はコークスの燃焼炭素 1 kg の有効熱量で

$$q_c = 2340 + V_B (C_0 t_{B0} - \varphi C_{H_2O} t_{B0} - 2580 \varphi) - V_G C_0 T_{G0} + \zeta_{CO} \{5640 - 1.867 (C_{CO_2} - C_0) T_{G0}\} \quad (4)$$

ここで、 $V_B$ : 乾燥空気量  $\text{m}^3/\text{kg} \cdot c$ 、 $V_G$ : Bosch gas 量  $\text{m}^3/\text{kg} \cdot c$ 、 $t_{B0}$ : 基準時の送風温度、 $\varphi$ : 送風の水分  $\text{m}^3/\text{m}^3 \cdot \text{dry air}$ 、 $\zeta_{CO}$ : CO の利用率、 $C_{CO_2}$ :  $CO_2$  の比熱、その他は前述と同じ。

$q_c$  を計算すると  $2819.6 \text{ kcal/kg} \cdot c$  となるから

$$C_2 = 147,840 / 2819.6 = 52.4 \text{ kg}$$

iii) 热損失の減少による間接的利益の炭素量

求める炭素量  $C_3$  は ii) と同様にして

$$C_3 = 180,920 / 2819.6 = 64.2 \text{ kg}$$

### IV. 粉炭中のCとコークスのCの等価性について

粉炭のCとコークスのCとが等価であるか否かを検討するためには、粉炭のC 1 kg 当りの有効発熱量  $q'_c$  を求め、これと前述の  $q_c$  とを比較する必要がある。このさい、 $q'_c$  は次の式によつて計算せねばならない。

$$q'_c = 2340 + V_B' (C_0 t_B - \varphi C_{H_2O} t_B - 2580 \varphi) - V_G' C_0 T_G - Q + \zeta_{CO} \{5640 - 1.867 (C_{CO_2} - C_0) T_G\} \quad (5)$$

ここで  $V_B'$ : 粉炭のC 1 kg 当り酸素富化空気量、 $V_G'$ : 粉炭のC 1 kg 当り bosh gas 量、 $Q$ : 粉炭および粉炭中  $CH_4$ 、 $CO_2$  の分解熱、 $t_B$ : 吹込時の送風温度、 $T_G$ : 吹込時の炉頂温度。

$q'_c$  を計算して  $2807 \text{ kcal/kg} \cdot c$  という値を得た。故に、粉炭の C 1 kg はコークスの C  $0.994 (= 2,807 / 2,819.6)$  kg と等価である。そこで、吹込粉炭のガス化率を考慮して、コークスと等価な炭素  $C_4$  は

$$C_4 = 259,23 \times 0.994 = 166.2 \text{ kg}$$

以上求めた炭素量  $C_1 \sim C_4$  をコークス量に換算すれば次のようになる。

粉炭中のCのコークス当量 .....  $188.6 \text{ kg}$

粉炭吹込による直接的利益:

Solution loss 減少のコークス当量  $96.8 \text{ kg}$

粉炭吹込による間接的利益:

炉頂ガス顯熱減少のコークス当量 .....  $59.4 \text{ kg}$

熱損失減少のコークス当量 .....  $72.9 \text{ kg}$

計  $417.7 \text{ kg}$

従つて、熱量計算による置換率は  $417.7 / 342.4 = 1.21$  となり、実績のみかけ置換率に極く近い値となる。

### V. 結 言

以上検討してきたことから次のことがいえる。

(1) 粉炭のCは、熱補償が十分であれば、コークスのCと等価である。

(2) 粉炭のコークス置換率は熱量的計算から  $1.21$  という値を得たが、このように粉炭に有利な置換が行なわれた原因は、Solution loss の減少、出銑量の増加に伴なうガス顯熱および熱損失の減少にある。

## 669,162,267.4,662,749.3

### (28) 高炉への燃料吹込に関する考察

日本钢管川崎製鉄所  $63218$   
 千葉五郎・伊沢哲夫・○松井正治

〃 技術研究所 森 ~~一~~ 高  
 Consideration on Fuel Injection into  
 Blast Furnace.  $13/2 \sim 13/4$

Goro CHIBA, Tetsuo IZAWA,  
 Masaharu MATSUI and Takashi MORI.

### I. 緒 言

当社川崎製鉄所の 4BFにおいては、37年末吹替に伴なつて減産の必要が生じ、その間を利用して低操業度高風熱（従来に比較して）により約 1 ヶ月操業した。従来 4BF では熱風炉能力の不足により高風熱が得られなかつたが、送風量減少により  $1050^\circ\text{C}$  の風熱が得られる予想があつたので、高炉では操業試験、および諸種の耐火物試験、一方熱風炉では熱効率の調査などを行なつた。

この炉では 37 年 8 月よりタール吹込を継続してきていたので、実際操業では、タール吹込量を変更し、送風温度を上昇させて

1. 複合送風時の風熱上昇による吹込燃料の効率の変化調査。

また、その間の炉内反応機構の推定、研究のために

2. 炉内ガス分布の変化調査

を行なつた。ここではこの複合送風関係の検討結果を報告する。なお、4BF の各段の測定孔位置を Fig. 1 に示す。

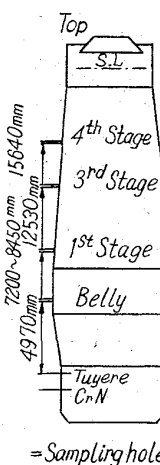


Fig. 1. 4BF profile and sampling hole

である。

シャフトのガスサンプリングについては 5 日単位の内第 3 日目、第 5 日目に行なつた、その時間は午前 1 回午後 1 回である。また、その位置は水平方向に西、南、北（東側測定孔は詰まり、その他の理由で測定不能であった）を探り、各々の垂直方向には Fig. 1 に示すごとく切立、シャフト 1, 3, 4 段および炉頂である。

### III. 結果および考察

#### (1) 高風熱操業による置換率の上昇

操業成績を Table 1 に示す。

高風熱操業時の期間は短いが、タール吹込を始めた初期の成績（37年 8月 11日～9月 30日）の置換率と今回の置換率の比較を Fig. 2 に示す。何れの場合にも吹込量の増大に比例して置換率が低下していくが、熱補償量が大きい程その置換率が高い。

#### (2) シャフトのガス分析

ガスサンプリングの分析結果を Fig. 3, 4 に示す。なお、図中には計算によるボッシュガス成分を記入した。

##### a. H<sub>2</sub> ガス

(i) H<sub>2</sub> ガスはシャフト 1 段以下で反応に与かつていて、上部ではあまり変化がない。

(ii) シャフト上部と炉頂部との差があるのは、炉頂部で上昇混合ガスをサンプリングしているためと考えられる。

(iii) ボッシュガス成分より切立で増える傾向にあるのは、H<sub>2</sub> ガスが炉下部では中心より周辺に通り易いらしい。

(iv) 操業度が高い程、より炉下部で反応し、またその利用度も高いらしい。

複合送風時にボッシュガス中の H<sub>2</sub>% が増加すれば、それに比例してシャフト周辺のガス通過量も増加し、これが冷却函破損などの事故に多少関係しているものと考える。

#### b. CO, CO<sub>2</sub> ガス

(i) シャフト 4 段と炉頂部ガス組成にはかなりの差がある。

シャフト上部では周辺でガス速度が遅いためか中心部

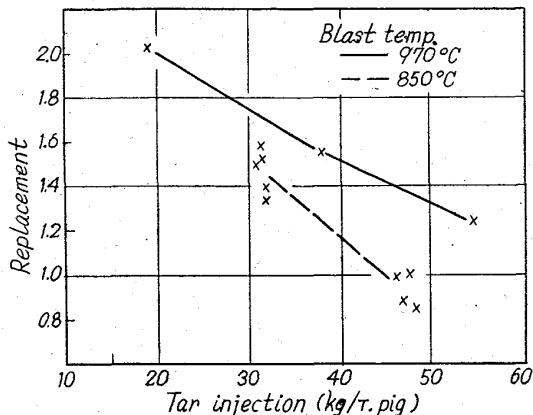


Fig. 2. Replacement of tar to coke.

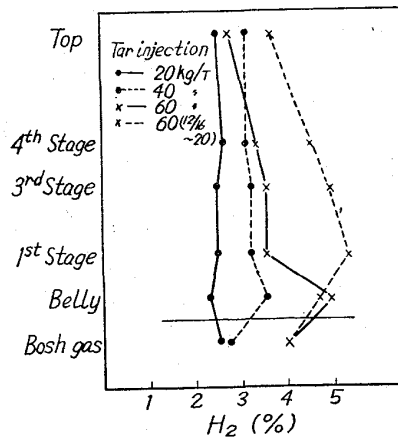


Fig. 3. Gas analysis in shaft.

Table 1. Operation results.

	Base period 36-9/11~30	Test period 37-12/1~5	6~10	11~15	16~20
Production t/d	1208	1013	1014	1009	592
C. R. kg/t	613	538	503	518	484
Tar R kg/t	—	18.7	54.2	37.5	57.3
Blast temp °C	810	962	970	973	994
moi g/m <sup>3</sup>	39.4	19.7	15.5	24.0	23.1
Slag R kg/t	341	362	381	358	363
Si in pig %	0.66	0.64	0.59	0.60	0.67
S in pig %	0.052	0.022	0.028	0.027	0.028
CaO/SiO <sub>2</sub>	1.16	1.24	1.22	1.22	1.21
CO <sub>2</sub> in top gas %	16.6	17.1	17.5	17.4	18.4
CO in top gas %	24.9	25.0	24.4	24.5	23.1
Correct CR	623.5	583.6	553.2	565.3	—
Replacement	—	2.02	1.25	1.56	—

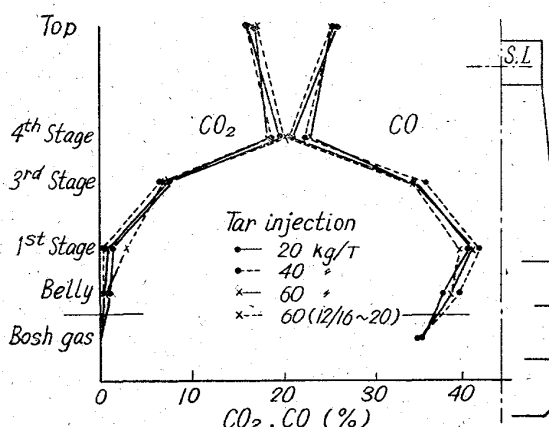


Fig. 4. Gas analysis in shaft.

Table 2. Analysis of variance.

 $H_2$ 

Factor	$\text{f}$	V	Fo'
Tar ratio	2	63396	**
Between days	1	56644	**
Within days	1	4422	—
Horizontal s.	2	77393	**
Vertical s.	3	10010	**
e	103	1619	
Total	143		

CO

Factor	$\text{f}$	V	Fo'
Tar ratio	2	119918	**
Between days	1	24180	—
Within days	1	6944	—
Horizontal s.	2	239341	**
Vertical s.	3	28137127	**
e	103	24726	
Total	143		

CO<sub>2</sub>

Factor	$\text{f}$	V	Fo'
Tar ratio	2	48846	—
Between days	1	11342	—
Within days	1	5625	—
Horizontal s.	2	91857	**
Vertical s.	3	26398744	**
e	103	16957	
Total	143		

s.: section

- に比して間接還元が良く行なわれるためと考えられる。
- (ii) CO<sub>2</sub>ガスはボッシュガス成分と切立、1段と殆んど変らない。
- (iii) COガスはボッシュガスから切立、1段と増加

している。

COガスがCO<sub>2</sub>と比較して特に炉周辺部を通り易いとは考えられないで、この高炉では1段測定孔の位置迄は殆んどが直接還元によつて反応が進んでいると考えられる。

次に、ガス分析の分散分析表をTable 2に示す。

(i) 水平方向では、H<sub>2</sub>, CO, CO<sub>2</sub>共有意であり、炉内のガス流が不均一であることが予測される。

(ii) 日内の変動が多少あるが、サンプリング精度が悪いために検出できない。

(iii) 日間の変動がH<sub>2</sub>のみ有意であるのは、タール吹込量の変化から予想されるが、CO, CO<sub>2</sub>が有意でないのは、コークス中のCとタール中のCが炉内では同様の作用をしているものと考えられる。

#### IV. 結 言

高炉えの燃料吹込の時に補償熱量を増大すれば置換率が向上することが確認できた。その間の炉内の還元機構を判別することはできなかつたが、全般的な炉内の還元機構をある程度推定することができた。

今後、サンプリング精度を上げる工夫をして、炉下部の反応機構を研究するつもりである。

#### (29) 重油吹込操業における銑中Siと溶銑温度の関連

富士製鉄生産管理部 八塚 健夫  
〃 釜石製鉄所製銑部 ○太田 完  
〃 〃 泉 穎純

Relation between Si Content and Temperature of Basic Iron under Heavy Oil Injection. /3/14 ~ /3/16

Takeo YATSUZUKA, Sadamu OTA  
and Sekizyun IZUMI.

#### I. 緒 言

釜石製鉄所の第2高炉では37年5月下旬より重油吹込操業を開始した。当初の数カ月間は試験的に重油吹込量を変化させて操業を行なつたが、この期間中の銑中Siと溶銑温度は、従来の通常操業の場合とやや異なつた挙動を示すことが認められたので、この点について検討した結果を報告する。

#### II. 調査期間

重油吹込以前の37年4月11日～5月20日を基準期間とし、6月～10月の重油吹込操業期間の実績と比較した。

#### III. 操業実績

重油吹込は送風羽口18本から、羽口に鋳込んだ吹込用ノズル(先端径3mm f)によつて行なつた。

操業実績をFig. 1に示す。吹込当初はノズルの詰りなどのため重油吹込羽口本数が変動し、且つ6, 9月には重油の多量吹込試験を行なつたため、調査期間中の羽口1本当りの重油吹込量は、風量100m<sup>3</sup>につき4kg～7kgの範囲で変動している。なお溶銑温度はオプティカル・パイロメーターによる測定値である。